

Λ超子在核物质中的单粒子位阱深度

沈建平 厉光烈

(中国科学院高能物理研究所)

摘要

本文利用单 K 、 η 、 ω 及 2π 、 $\pi\rho$ 介子交换理论给出的 Λ -N 相互作用势^[1,2], 计算了 Λ 超子在核物质中的单粒子位阱深度。

一、引言

在前面的工作中^[1-4], 我们利用单 K 、 η 和 ω 介子及 2π 、 $\pi\rho$ 介子交换机制给出了 Λ -N 相互作用势, 并用它相当好地拟合了 Λ -p 弹性散射的 S 波相移, 给出了与实验数据大致符合的 ^3He 和 ^3H 的 Λ 分离能和能谱, 以及 ^3He 和 ^3H 基态结合能之差, 此外还计算了 ^3H 的两个低激发态的激发谱。为了进一步检验能否用这个势解释更多的 Λ 超核实验事实, 在这篇文章中, 我们计算了 Λ 超子在核物质中的单粒子位阱深度。

在 Λ 超核结构的研究中, Λ 超子在核物质中的单粒子位阱深度 D_Λ 是一个十分有用的物理量。这个量与 Λ 超核基态结合能 B_Λ 有着密切的关系。例如, 对于宽度为 $R = r_0 A^{1/3}$, 深度为 D_Λ 的无限高方位阱, D_Λ 与 $A \gg 1$ 的重 Λ 超核的 B_Λ 有如下关系^[5]:

$$D_\Lambda = B_\Lambda + \frac{\pi^2}{2M_\Lambda r_0^2} A^{-\frac{2}{3}} \quad (1)$$

其中 M_Λ 是 Λ 超子的质量。由(1)式可知, D_Λ 可由重 Λ 超核的 B_Λ 的实验值外推得到。但是, 到目前为止, 实验上只测量到 $A < 16$ 的轻 Λ 超核的 B_Λ , 唯一知道的有关重 Λ 超核基态结合能的实验数据是 $60 < A < 100$ 的重 Λ 超核基态结合能的上限: $B_\Lambda^{\max} = 22.7 \pm 0.02 \text{ MeV}$ ^[6]。虽然有人根据这些实验数据算出 D_Λ 的经验值为 $30 \pm 2 \text{ MeV}$ ^[7], 但是其可信程度是比较差的。因此, 有必要从理论上计算 D_Λ 值。Rote 和 Bodmer^[8] 在坐标空间中用 Brueckner-Bethe 反应矩阵方法计算了由唯象 Λ -N 相互作用势^[9]给出的 D_Λ 值, 得到的结果比上述的 D_Λ 经验值要大。在本文中, 我们将在动量空间中计算由上述的 Λ -N 介子交换势给出的 D_Λ 值, 并将计算结果与 Rote 和 Bodmer 所得的结果进行比较。

二、计算公式

在核物质中传播的 Λ 超子的单粒子格林函数可写为

$$G_{\Lambda}(E_A) = [E_A - (T_{\Lambda} + M_{\Lambda}(E_A)) + i\epsilon]^{-1} \quad (2)$$

其中 \mathbf{k}_A 和 E_A 分别是 Λ 超子的动量和能量, T_{Λ} 是动能算符, $M_{\Lambda}(E_A)$ 是 Λ 超子和核物质相互作用引起的能移, 称为质量算符.

束缚在核物质中的 Λ 超子的能量 E_A 由 $G_{\Lambda}(E_A)$ 的极点给出:

$$E_A = T_{\Lambda} + M_{\Lambda}(E_A) \quad (3)$$

对于在核物质中处于基态的 Λ 超子, $\mathbf{k}_A = 0$, 因此, $T_{\Lambda} = 0$, 这时质量算符 $M_{\Lambda=0}$ 就给出 Λ 超子在核物质中的基态结合能, 也就是 Λ 超子在核物质中的单粒子位阱深度 D_A :

$$-D_A = M_{\Lambda=0} = (-D_A) \quad (4)$$

质量算符 $M_{\Lambda}(E_A)$ 可用两体相互作用算符 v 的连接的不可约图来展开. 在反应矩阵(即 g -矩阵)近似下, 只考虑图 1 给出的梯形图的贡献.

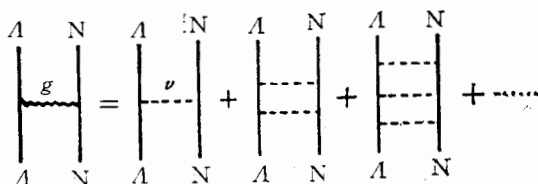


图 1

这时,

$$M_{\Lambda}(E_A) = \sum_{k_N < k_F} \langle \mathbf{k}_A, \mathbf{k}_N | g(E_A + E_N) | \mathbf{k}_A, \mathbf{k}_N \rangle \quad (5)$$

其中 k_F 是费米动量, 它与核物质密度 ρ 有以下关系:

$$\rho = 2k_F^3 / 3\pi^2 \quad (6)$$

$|\mathbf{k}_A, \mathbf{k}_N\rangle$ 是 Λ 超子和核子的平面波态的乘积. (5) 式中的 g 矩阵满足下方程:

$$g = v + v \frac{Q_N}{e} g \quad (7)$$

其中 v 是 $\Lambda-N$ 相互作用势. 在本文中, 我们采用单 K 、 η 、 ω 及 2π 、 $\pi\rho$ 介子交换给出的 $\Lambda-N$ 相互作用势^[1], 它具有如下形式:

$$v_\tau(r) = v_\tau^{(c)}(r) + v_\tau^{(\sigma)}(r)\boldsymbol{\sigma}_1 \cdot \boldsymbol{\sigma}_2 + v_\tau^{(T)}(r)S_{12} \quad (8)$$

这里下标 τ 用来区分 $\Lambda-p$ 和 $\Lambda-n$ 相互作用, 径向函数 $v_\tau^{(c)}(r)$ 、 $v_\tau^{(\sigma)}(r)$ 和 $v_\tau^{(T)}(r)$ 的具体形式参见文献 [1], $S_{12} = 3(\boldsymbol{\sigma}_1 \cdot \hat{r})(\boldsymbol{\sigma}_2 \cdot \hat{r}) - \boldsymbol{\sigma}_1 \cdot \boldsymbol{\sigma}_2$. Q_N 是核子的泡利算符, 定义为

$$Q_N = Q_N(\mathbf{K}_A, \mathbf{K}_N; k_F) = \begin{cases} 1 & K_N > k_F \\ 0 & K_N \leq k_F \end{cases} \quad (9)$$

分母 e 在有效质量近似下可以表示为,

$$e = \frac{k_A^2}{2M_A^*} + \frac{k_N^2}{2M_N^*} - \Delta_N - \Delta_A - \frac{K_A^2}{2M_A} - \frac{K_N^2}{2M_N} \quad (10)$$

式中 \mathbf{K}_A 和 \mathbf{K}_N 分别是中间态 Λ 超子和核子的动量, M_A^* 和 M_N^* 分别是中间态 Λ 超子和核子在核物质中的有效质量, Δ_A 和 Δ_N 分别是 Λ 超子和核子在核物质中的单粒子位阱深

度, 实际上 Δ_A 就是 D_A , 由自洽条件:

$$D_A(\Delta_A) = \Delta_A \quad (11)$$

定出。

在实际计算中, 我们是在动量空间里用矩阵求逆的方法求解方程(7). 为此, 我们对(7)式作分波展开, 并对泡利算符 Q_N 取角平均近似. 于是, 我们得到:

$$\begin{aligned} g_{l''l}^{i\pi}(q', q; w) &= v_{l''l}^{i\pi}(q', q) \\ &+ \sum_{l''} \int q''^2 dq'' v_{l''l}^{i\pi}(q', q'') \frac{Q_N(P, q''; k_F)}{w - \frac{P^2}{2M} - \frac{q''^2}{2\mu}} g_{l''l}^{i\pi}(q'', q; w) \end{aligned} \quad (12)$$

其中,

$$Q_N(P, q; k_F) = \begin{cases} 1 & q > k_F + \frac{M_N}{M} P \\ 0 & q < k_F - \frac{M_N}{M} P \\ \frac{(q + \frac{M_N}{M} P)^2 - k_F^2}{4 \frac{M_N}{M} P q} & \text{其它情况} \end{cases} \quad (13)$$

$$W = \frac{P^2}{2M^*} + \frac{q^2}{2\mu^*} - \Delta_A - \Delta_N$$

$M = M_A + M_N$ 和 $\mu = \frac{M_A M_N}{M}$, M^* 和 μ^* 有类似的表示式. 如果不考虑张量力的贡献, (12)式可改写为

$$\begin{aligned} g_a(q', q; w) &= v_a(q', q) \\ &+ \int q''^2 dq'' v_a(q', q'') \frac{Q_N(P, q''; k_F)}{w - \frac{P^2}{2M} - \frac{q''^2}{2\mu}} g_a(q'', q; w) \end{aligned} \quad (14)$$

其中,

$$v_a(q', q) = \frac{2}{\pi} \int_0^\infty r^2 dr j_l(q'r) \{ v_r^{(c)}(r) + v_r^{(o)}(r) [2s(s+1) - 3] \} j_l(qr) \quad (15)$$

相应地,

$$D_A = - \sum_{a=i,l,\pi} \left(i + \frac{1}{2} \right) \left(\frac{M}{M_A} \right)^3 \int_0^{M_A k_F} q^2 dq g_a(q, q; w_0) \quad (16)$$

$$w_0 = \frac{k_N^2}{2M_N^*} - D_A - \Delta_N \quad (17)$$

求解自洽方程组(14)–(17), 便可得到 D_A .

三、结果和讨论

在动量空间中用矩阵求逆方法求解自洽方程组(14)–(17), 我们得到了由单 K 、 η 、 ω

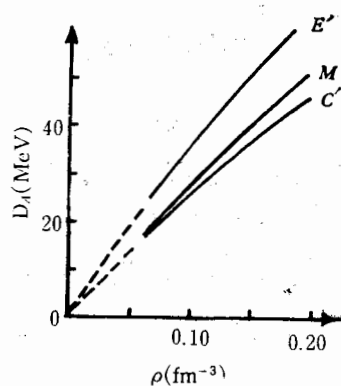


图 2 $D_A \sim \rho$ 关系
(虚线是外推得到的)

及 2π 、 $\pi\rho$ 介子交换势^[1,2]给出的 D_A 。为了便于与 Rote 和 Bodmer 用 Λ -N 唯象势在坐标空间中计算得到的结果相比较, 我们只考虑了中心力的贡献, 并取 $k_F = 1.366 \text{ fm}^{-1}$, $\Delta_N = 81.4 \text{ MeV}$ 和 $M_N^*/M_N = 0.638$, 和 $k_F = 1.366 \text{ fm}^{-1}$, $\Delta_N = 60 \text{ MeV}$ 和 $M_N^*/M_N = 0.653$ 两组核物质参数。计算结果列在表 1 中。从表 1 可以看到, 用上述的 Λ -N 介子交换势 (M) 算出的 D_A 与 Rote 和 Bodmer 用 Λ -N 唯象势 H 算出的差不多大小。这可能是因为上述的介子交换势的自旋平均有效力程 (2.0 fm) 和软心半径 (0.6 fm)^[2] 与 Λ -N 唯象势所选用的 b 和 c 大小差不多的缘故。另外, 从表 1 还可以看到, 用 Λ -N 介子交换势算出的 D_A 在 $x = 0$ 时比在 $x = 0.2$ 时大。

表 1 用 Λ -N 介子交换势 (M)^[1,2] 和唯象势 (A' 到 H)^[3] 算出的 $D_A(\text{MeV})$ 的比较

势的类型	M	A'	C'	E'	E	H
$b(\text{fm})$		1.5	1.5	2.0	2.0	2.1
$c(\text{fm})$		0	0.45	0.45	0.45	0.6
1	$D_A^{(s)}$	43.2	34.0	31.4	36.7	41.5
	$D_A^{(p)}$	1.4				
	$D_A^{(d)}$	0.5				
	$D_A(x=0)$	45.1	41.1	40.5	56.0	61.7
	$D_A(x=0.2)$	44.6	38.4	35.2	47.1	51.9
2	$D_A^{(s)}$	44.5				
	$D_A^{(p)}$	1.4				
	$D_A^{(d)}$	0.5				
	$D_A(x=0)$	46.4				
	$D_A(x=0.2)$	46.0	38.6	37.0	49.6	54.6
						49.75

与表中两组 D_A 值相应的核参数分别是: 1. $k_F = 1.366 \text{ fm}^{-1}$, $\Delta_N = 81.4 \text{ MeV}$ 和 $M_N^*/M_N = 0.638$; 2. $k_F = 1.366 \text{ fm}^{-1}$, $\Delta_N = 60 \text{ MeV}$ 和 $M_N^*/M_N = 0.653$ 。 $D_A^{(s)}$ 、 $D_A^{(p)}$ 和 $D_A^{(d)}$ 分别是 S 、 P 波和 D 分波深度, $x = 0$ 相当于在 D_A 中所有分波取相同的强度; $x = 0.2$ 表示取奇分波的强度为偶分波的 0.6 倍。

它处
M.

他
ε_N
分
大
同
续
谱,
都
略
献.

$k_F = 0.653$

出的分波深度明显地比用 Λ -N 唯象势算出的要收敛得快, 以第一组核物质参数 ($k_F = 1.366 \text{ fm}^{-1}$, $\Delta_N = 81.4 \text{ MeV}$ 和 $M_N^*/M_N = 0.638$) 为例, 对 M , $D_A^{(c)}/D_A(x=0)$ 为 96%; 而对 Λ -N 唯象势 ($A' - H$), $D_A^{(c)}/D_A(x=0)$ 分别为 83%, 78%, 66%, 67% 和 62%。我们还计算了 D_A 随核物质密度 ρ 变化的关系。在图 2 中, 用 M 标记的曲线是我们用上述的介子交换势计算得到的, 曲线 C' 和 E' 是 Rote 和 Bodmer 分别用唯象势 C' 和 E' 计算得到的。显见曲线 M 更接近直线, 即 D_A 与 ρ 成正比。

在上述的计算中, 像在大多数 BHF 核物质计算中一样, 我们所取的核子单粒子谱 $\epsilon_N(k)$ 是不连续的:

$$\epsilon_N(k) = \begin{cases} \frac{k^2}{2M_N} & (k > k_F) \\ \frac{k^2}{2M_N^*} - \Delta_N & (k \leq k_F) \end{cases} \quad (18)$$

它在 $k = k_F$ 处有一个大约 60MeV 的能隙。这种不连续的核子单粒子谱有许多不足之处^[10], 例如它人为地抑制了在核物质中引起低激发粒子-空穴态的长程关联作用。最近 Ma 和 Kuo^[11] 在他们的核物质计算中采用了一种近乎连续的(准连续)核子单粒子谱:

$$\epsilon_N(k) = \begin{cases} \frac{k^2}{2M_N} & (k > 2k_F) \\ \frac{k^2}{2M_N^*} - \Delta_N & (k \leq 2k_F) \end{cases} \quad (19)$$

他们所选用的核物质参数是: $k_F = 1.36 \text{ fm}^{-1}$, $\Delta_N = 63.96 \text{ MeV}$ 和 $M_N^*/M_N = 0.746$, $\epsilon_N(k)$ 在 $k = 2k_F$ 处的不连续只有 10MeV。为了比较这两种核子单粒子谱, 我们用它们分别计算了 D_A 。结果列在表 2 中。从表 2 可以看到, 用上述两种 ϵ_N 算出的 D_A 相差不大。具体地讲, 对 Ma 和 Kuo 所选用的核物质参数(1), 用这两种 ϵ_N 算出的 D_A 几乎相同, 对常用的核物质参数(2)以及 Rote 和 Bodmer 所选用的核物质参数(3 和 4), 用准连续的 ϵ_N 算出的 D_A 比用不连续的 ϵ_N 算出的 D_A 略大。

从上面的讨论可以看到, 无论选取哪一组核物质参数, 无论采用哪一种核子单粒子谱, 用单 K , η , ω 及 $2\pi, \pi\rho$ 介子交换势算出的 D_A 都与用唯象 Λ -N 势算出的差不多, 且都比 D_A 的经验值 ($30 \pm 2 \text{ MeV}$) 要大。这主要是因为在计算中只考虑了中心力的贡献, 忽略了张量力及其它效应的缘故^[12]。我们将进一步考虑这些效应, 特别是张量力对 D_A 的贡献。

表 2 用两种 ϵ_N 算出的 D_A 的比较

ϵ_N 的类型	$D_A(x=0)$ (MeV)			
	1	2	3	4
不连续	45.8	45.4	46.4	45.1
准连续	45.8	45.6	46.7	46.1

与表中四组 D_A 值相应的核物质参数分别是: 1. $k_F = 1.36 \text{ fm}^{-1}$, $\Delta_N = 63.96 \text{ MeV}$ 和 $M_N^*/M_N = 0.746$; 2. $k_F = 1.36 \text{ fm}^{-1}$, $\Delta_N = 63 \text{ MeV}$ 和 $M_N^*/M_N = 0.653$; 3. $k_F = 1.366 \text{ fm}^{-1}$, $\Delta_N = 60 \text{ MeV}$ 和 $M_N^*/M_N = 0.653$; 4. $k_F = 1.366 \text{ fm}^{-1}$, $\Delta_N = 81.4 \text{ MeV}$ 和 $M_N^*/M_N = 0.638$

参 考 文 献

- [1] Wu Hui-fang et al, *Commun. in Theor. Phys.*, 1(1982), 449.
- [2] Shen Jian-ping et al, *Commun. in Theor. Phys.*, 2(1983), 1313.
- [3] 沈建平, 吴慧芳, 高能物理与核物理, 6(1982), 517.
- [4] 吴慧芳, 沈建平, 余友文, 张宗焯, 高能物理与核物理, 5(1981), 751.
- [5] B. Povh, *Ann. Rev. Nucl. Part. Sci.*, 28(1978), 1.
- [6] J. Lemonne, et al, *Phys. Lett.*, 18(1965), 354.
- [7] D. P. Goyal, *Nucl. Phys.*, 83(1966), 639; B. Bhowmik, T. chand and D. V. Chopra, *Nuovo Cim.*, 52A (1967), 1375.
- [8] D. M. Rote and A. R. Bodmer, *Nucl. Phys.*, A148 (1970), 97.
- [9] R. C. Herndon and Y. C. Tang, *Phys. Rev.*, 153(1967), 1091; 159 (1967), 853; Y. C. Tang, Phenomenological Study of the S-shell Hypernuclei, Proc. Int. Conf. On Hypernuclear Physics, Argonne National Laboratory, May 1969, eds. A. R. Bodmer and L. G. Hyman (Argonne National Laboratory, Argonne, Ill. 1969, p276).
- [10] A. Lejeune and C. Mahaux, *Nucl. Phys.*, A295(1978), 189; J. P. Jeukenne, A. Lejeune and C. Mahaux, *Phys. Rep.*, 25(1975), 83.
- [11] Z. Y. Ma and T. T. S. Kuo,, *Phys. Lett.*, 127B(1983), 137.
- [12] H. Bando, Topics on hypernuclear physics, NN-Nmbp Summer School, Chang Chun, China, 1983.

THE POTENTIAL WELL DEPTH OF Λ PARTICLE IN NUCLEAR MATTER DUE TO MESON EXCHANGE POTENTIAL

SHEN JIAN-PING LI GUANG-LIE

(Institute of High Energy Physics, Academia Sinica)

ABSTRACT

The potential well depth of Λ particle in nuclear matter is calculated by using the Λ -N potential from single K , η , ω and 2π , $\pi\rho$ meson exchanges.

高能合

式强度不场